



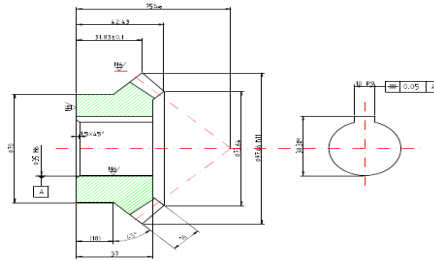
# Une méthode de continuation guidée par la géométrie pour résoudre des systèmes de contraintes géométriques

Rémi Imbach, Pascal Mathis et Pascal Schreck



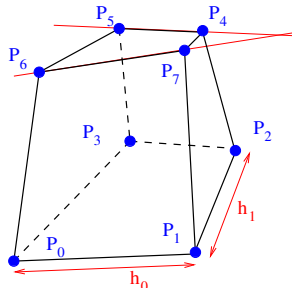
# Résolution de contraintes et modélisation

- Modélisation géométrique en CAO
  - déclarative : décrire un objet par les propriétés qu'il satisfait ;
  - impérative : exhiber cet objet ou une façon de le construire.
- Résolution de Contraintes Géométriques (RCG) :  
    Contraintes géométriques → objet
- Applications principales :
  - Chimie moléculaire
  - Robotique
  - CAO



# Système de Contraintes Géométriques (SCG)

- Ensemble de primitives géométriques
  - points, droites, cercles, ...
  - variables sortées : *Point* :  $P_0, P_1, \dots$
- Satisfaisant un ensemble de contraintes
  - distances, incidences, tangences...
  - termes :  $h_0 = \text{distance}(P_0, P_1), \dots$
- Saisi par l'intermédiaire d'une *esquisse*



Inconnues :

*Point* :  $P_0, P_1, \dots, P_7$

Paramètres :

*Longueurs* :  $h_0, h_1, \dots$

Contraintes :

$h_0 = \text{distance}(P_0, P_1)$

$h_1 = \text{distance}(P_1, P_2)$

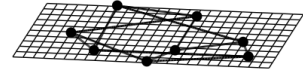
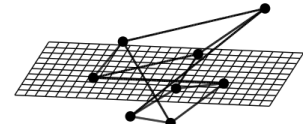
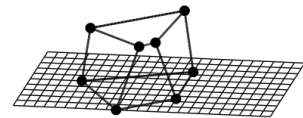
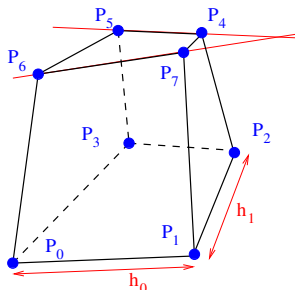
...

$\text{coplanaire}(P_4, P_5, P_6, P_7)$

...

# Système de Contraintes Géométriques (SCG)

- Ensemble de primitives géométriques
  - points, droites, cercles, ...
  - variables sortées : *Point* :  $P_0, P_1, \dots$
- Satisfaisant un ensemble de contraintes
  - distances, incidences, tangences...
  - termes :  $h_0 = \text{distance}(P_0, P_1), \dots$
- Saisi par l'intermédiaire d'une *esquisse*



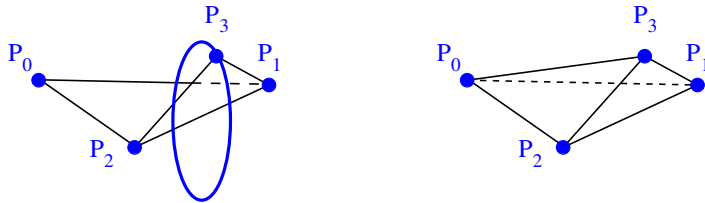
# Problématique

**But :** Explorer l'espace des solutions d'un SCG

- Quelle est sa structure ?
- Résolution formelle et exacte, ou numérique et approchée ?
- Chercher toutes les solutions, ou celles qui présentent un intérêt pour l'utilisateur ?

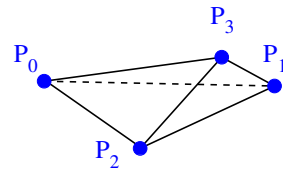
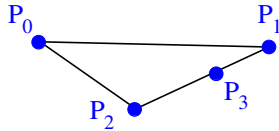
# Structure de l'espace des solutions

Rigidité : les solutions (modulo les déplacements) sont-elles des points isolés de l'espace des coordonnées ?



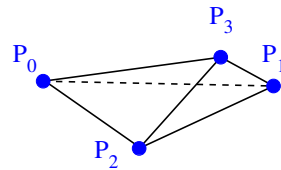
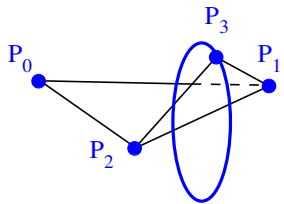
# Structure de l'espace des solutions

Rigidité : les solutions (modulo les déplacements) sont-elles des points isolés de l'espace des coordonnées ?



# Structure de l'espace des solutions

Rigidité : les solutions (modulo les déplacements) sont-elles des points isolés de l'espace des coordonnées ?



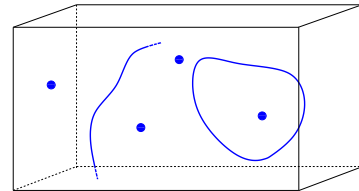
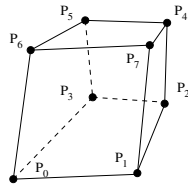
6 ddl (modulo déplacements)  
5 ddr

6 ddl (modulo déplacements)  
6 ddr

# Structure de l'espace des solutions

Rigidité : les solutions (modulo les déplacements) sont-elles des points isolés de l'espace des coordonnées ?

Et si les composantes connexes de l'ensemble des solutions sont hétérogènes en dimension ?



# Problématique

**But :** Explorer l'espace des solutions d'un SCG

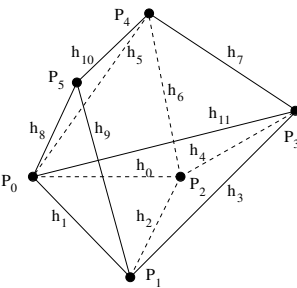
- Quelle est sa structure ?
- Résolution formelle et exacte, ou numérique et approchée ?
- Chercher toutes les solutions, ou celles qui présentent un intérêt pour l'utilisateur ?

# Résolution

Recherche de solutions isolées de SCG supposés rigides

Approches formelles : spécialités strasbourgeoises

- Systèmes à base de connaissances



Paramètres :

$P_0, Pl_0, L_0, h_0, h_1, \dots, h_{11}$

Inconnues :

$P_1, P_2, \dots, P_5, S_0, \dots, S_{11}$

Termes :

$S_0 = \text{sphere}(P_0, h_0)$

$P_2 = \text{interPLS}(Pl_0, L_0, S_0)$

$S_1 = \text{sphere}(P_0, h_1)$

$S_2 = \text{sphere}(P_2, h_2)$

$P_1 = \text{interPSS}(Pl_0, S_1, S_2)$

...

$S_9 = \text{sphere}(P_0, h_8)$

$S_{10} = \text{sphere}(P_1, h_9)$

$S_{11} = \text{sphere}(P_4, h_{10})$

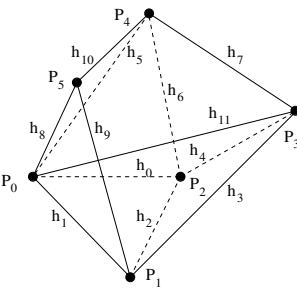
$P_5 = \text{interSSS}(S_9, S_{10}, S_{11})$

# Résolution

Recherche de solutions isolées de SCG supposés rigides

Approches formelles : spécialités strasbourgeoises

- Systèmes à base de connaissances  
Locus Intersection Method (LIM)



Paramètres :

$P_0, Pl_0, L_0, h_0, h_1, \dots, h_{11}$

Inconnues :

$P_1, P_2, \dots, P_5, S_0, \dots, S_{11}$

Termes :

$S_0 = \text{sphere}(P_0, h_0)$

$P_2 = \text{interPLS}(Pl_0, L_0, S_0)$

$S_1 = \text{sphere}(P_0, h_1)$

$S_2 = \text{sphere}(P_2, h_2)$

$P_1 = \text{interPSS}(Pl_0, S_1, S_2)$

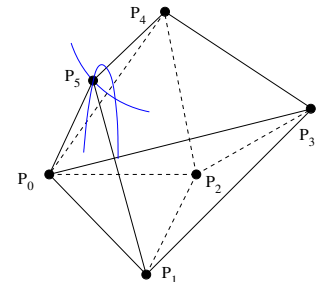
...

$S_9 = \text{sphere}(P_0, h_8)$

$S_{10} = \text{sphere}(P_1, h_9)$

$S_{11} = \text{sphere}(P_4, h_{10})$

$P_5 = \text{interSSS}(S_9, S_{10}, S_{11})$

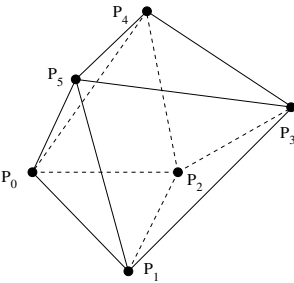


# Résolution

Recherche de solutions isolées de SCG supposés rigides

Approches formelles : spécialités strasbourgeoises

- Systèmes à base de connaissances  
Locus Intersection Method (LIM)

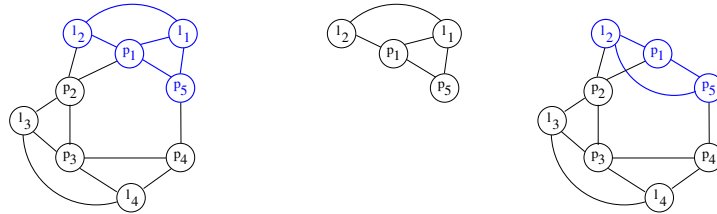


# Résolution

Recherche de solutions isolées de SCG supposés rigides

Approches formelles : spécialités strasbourgeoises

- Systèmes à base de connaissances
- Décomposition



# Résolution

Recherche de solutions isolées de SCG supposés rigides

## Résolution numérique

- Construction d'une fonction numérique qui s'annule en les solutions

Inconnues :

Point  $P_0, \dots, P_7$

Contraintes :

$h_0 = \text{distance}(P_0, P_1)$

$h_1 = \text{distance}(P_1, P_2)$

...

$\text{coplanaire}(P_0, P_1, P_2, P_3)$

...

$\text{coplanaire}(P_4, P_5, P_6, P_7)$

$$F : \mathbb{R}^{18} \rightarrow \mathbb{R}^{18}$$

$$\begin{pmatrix} x_0 \\ \dots \\ x_{17} \end{pmatrix} \mapsto \begin{pmatrix} \|\overrightarrow{P_0P_1}\| - h_0 \\ \|\overrightarrow{P_1P_2}\| - h_1 \\ \dots \\ \det(\overrightarrow{P_0P_1}, \overrightarrow{P_0P_2}, \overrightarrow{P_0P_3}) \\ \dots \\ \det(\overrightarrow{P_4P_5}, \overrightarrow{P_4P_6}, \overrightarrow{P_4P_7}) \end{pmatrix}$$

# Résolution

Recherche de solutions isolées de SCG supposés rigides

## Résolution numérique

- Construction d'une fonction numérique qui s'annule en les solutions pour un jeu de paramètres

Inconnues :

Point  $P_0, \dots, P_7$

Contraintes :

$h_0 = \text{distance}(P_0, P_1)$

$h_1 = \text{distance}(P_1, P_2)$

...

$\text{coplanaire}(P_0, P_1, P_2, P_3)$

...

$\text{coplanaire}(P_4, P_5, P_6, P_7)$

$$F : \mathbb{R}^{18} \times \mathbb{R}^{12} \rightarrow \mathbb{R}^{18}$$

$$\begin{pmatrix} x_0 \\ \dots \\ x_{17} \\ h_0 \\ \dots \\ h_{11} \end{pmatrix} \mapsto \begin{pmatrix} \|\overrightarrow{P_0P_1}\| - h_0 \\ \|\overrightarrow{P_1P_2}\| - h_1 \\ \dots \\ \det(\overrightarrow{P_0P_1}, \overrightarrow{P_0P_2}, \overrightarrow{P_0P_3}) \\ \dots \\ \det(\overrightarrow{P_4P_5}, \overrightarrow{P_4P_6}, \overrightarrow{P_4P_7}) \end{pmatrix}$$

# Résolution

Recherche de solutions isolées de SCG supposés rigides

## Résolution numérique

- Construction d'une fonction numérique qui s'annule en les solutions pour un jeu de paramètres
- Recherche exhaustive des solutions : méthodes par intervalles, homotopie
- Recherche d'une seule solution : Newton-Raphson, continuation de l'esquisse, optimisation

# Problématique

**But :** Explorer l'espace des solutions d'un SCG

- Quelle est sa structure ?
- Résolution formelle et exacte, ou numérique et approchée ?
- Chercher toutes les solutions, ou celles qui présentent un intérêt pour l'utilisateur ?

# Problématique

**But :** Explorer l'espace des solutions d'un SCG

- Quelle est sa structure ?
- Résolution formelle et exacte, ou numérique et approchée ?
- Chercher toutes les solutions, ou celles qui présentent un intérêt pour l'utilisateur ?

**Moyen :** Exploiter le contexte géométrique pour guider la résolution numérique par homotopie :

- Plusieurs solutions, proches de l'esquisse
- Robustesse aux ensembles de solutions hétérogènes en dimension
- Résolution hybride

# Méthode par homotopie

Idée principale : Déformation continue

- d'un **système initial**  $F_0(x) = 0$  (solutions connues)
- en un **système cible**  $F(x) = 0$  (solutions cherchées)

via une fonction d'homotopie  $H : \mathbb{C}^n \times [0, 1] \rightarrow \mathbb{C}^n$

**Exemple :**

Système cible :

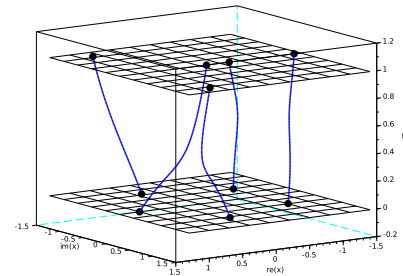
$$x^5 + 3x^2 + x = 0$$

Système initial :

$$\gamma (x^5 - 1) = 0, \gamma \in \mathbb{C}$$

Fonction d'homotopie :

$$H(x, t) = (1 - t)F_0(x) + tF(x)$$

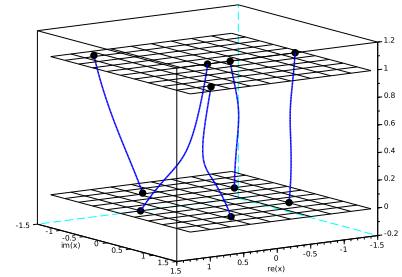


# Méthode par homotopie

Résultat central :

*Si  $H$  est régulière, les composantes connexes de l'ensemble  $\{(x, t) \in \mathbb{C}^n \times [0, 1] | H(x, t) = 0\}$  sont des variétés différentielles de dimension 1 : les chemins d'homotopie.*

Cette caractérisation permet d'explorer les chemins d'homotopie grâce à une méthode de suivi de courbes.

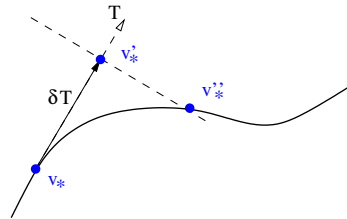


# Méthode par homotopie

Suivi d'un chemin défini par  $\mathcal{S} = \{v \in \mathbb{C}^n \times \mathbb{R} | H(v) = 0\}$

Prédiction-correction

- $v_*$  tq  $H(v_*) = 0$
- Prédire  $v'_*$  le long de la tangente  $T$  de  $\mathcal{S}$  en  $v_*$  :  
 $v'_* = v_* + \delta T, \delta \in \mathbb{R}$
- Corriger  $v'_*$  en  $v''_* \in \mathcal{S}$  grâce à Newton-Raphson  
ajout d'une équation garantissant la progression sur  $\mathcal{S}$



# Méthode par homotopie

Résultat central :

*Si  $H$  est régulière, les composantes connexes de l'ensemble  $\{(x, t) \in \mathbb{C}^n \times [0, 1] | H(x, t) = 0\}$  sont des variétés différentielles de dimension 1 : les chemins d'homotopie.*

Exemple :

Système cible :

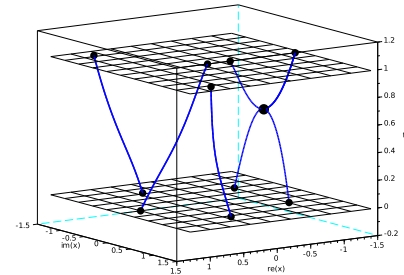
$$x^5 + 3x^2 + x = 0$$

Système initial :

$$(x^5 - 1) = 0$$

Fonction d'homotopie :

$$H(x, t) = (1 - t)F_0(x) + tF(x)$$



# Méthode par homotopie

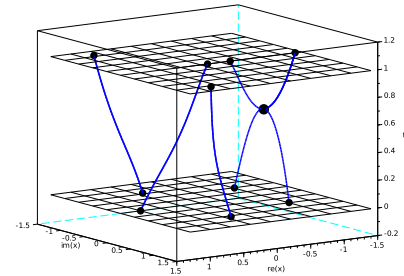
Résultat central :

*Si  $H$  est régulière, les composantes connexes de l'ensemble  $\{(x, t) \in \mathbb{C}^n \times [0, 1] | H(x, t) = 0\}$  sont des variétés différentielles de dimension 1 : les chemins d'homotopie.*

Point critique :  $(x, t)$  point en lequel  $J_{(x,t)}H$  n'est pas de rang plein.

Valeur critique :  $y = H(x, t)$  où  $(x, t)$  est un point critique.

$H$  régulière : 0 n'est pas une valeur critique



# Méthode par homotopie

Résultat central :

*Si chaque composante de  $F_0 : \mathbb{C}^n \rightarrow \mathbb{C}^n$  dépend d'un paramètre complexe, pour presque toutes les valeurs de ces paramètres,  $H$  est régulière sur  $\mathbb{C}^n \times [0, 1]$ .*

gamma-trick

chemins strictement croissants en  $t$

Exemple :

Système cible :

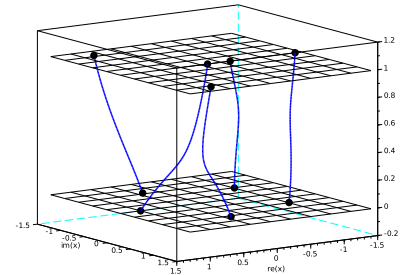
$$x^5 + 3x^2 + x = 0$$

Système initial :

$$\gamma (x^5 - 1) = 0, \gamma \in \mathbb{C}$$

Fonction d'homotopie :

$$H(x, t) = (1 - t)F_0(x) + tF(x)$$



# Méthode par homotopie

Sur-estimation du nombre de zéros de  $F$  :

- plusieurs chemins pour une solution
- chemins de longueur infinie
  - tendent vers un zéro de  $\lim_{t \rightarrow 1} H(x, t)$
  - temps de suivi infini
  - peuvent se détecter dans  $\mathbb{P}^n$

**Exemple :**

Système cible :

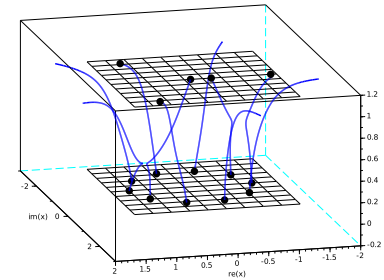
$$x^5 + 3x^2 + x = 0$$

Système initial :

$$\gamma(x^{10} - 1) = 0, \gamma \in \mathbb{C}$$

Fonction d'homotopie :

$$H(x, t) = (1 - t)F_0(x) + tF(x)$$



# Application à la résolution de SCG

Du SCG à la fonction d'homotopie :

système cible : utilisation de la fonction numérique associée

Avantage :

toutes les solutions isolées sont trouvées

Inconvénients :

- nombre de zéros de  $H$  très surestimé
- les solutions complexes sont-elles intéressantes ?  
⇒ méthode très coûteuse

[DH00] C. Durand and C.M. Hoffmann.

A systematic framework for solving geometric constraints analytically.

*Journal of Symbolic Computation*, 30(5) :493–519, 2000.

# Homotopie depuis l'esquisse

Du SCG à la fonction d'homotopie : Esquisse :  $x_{sk} \in \mathbb{R}^n$

Paramètres :  $a_{sk}$  lus sur l'esquisse

$a_{so}$  demandés par l'utilisateur

Fonction d'homotopie :  $F(x, (1 - t)a_{sk} + ta_{so})$

Avantages :

- solution trouvée semblable à l'esquisse
- suivi d'un seul chemin très rapide

Inconvénients :

- une seule solution trouvée
- chemin suivi dans  $\mathbb{R}^n \times [0, 1]$

[LM95] Hervé Lamure and Dominique Michelucci.

Solving geometric constraints by homotopy.

pages 263–269, 1995.

# Méthode par homotopie

Suivi des chemins dans  $\mathbb{R}^n \times [0, 1]$  :

- gamma-trick non valable
- chemins non nécessairement croissants en  $t$
- continuation des solutions non assurée

**Exemple :**

Système cible :

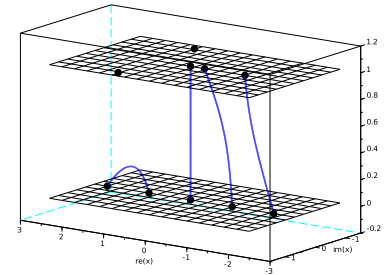
$$x^5 + 3x^2 + x = 0$$

Système initial :

$$(x - 3)(x - 2) \dots (x + 2) = 0$$

Fonction d'homotopie :

$$H(x, t) = (1 - t)F_0(x) + tF(x)$$



# Considérer le chemin d'homotopie dans $\mathbb{R}^n \times [0, 1]$

$(x, t) \in \mathcal{S}$ ,  $\mathcal{S} \in \mathbb{R}^n \times [0, 1]$  chemin d'homotopie de  $H$

- solution pour les paramètres  $(1 - t)a_{sk} + ta_{so}$
- seules les solutions réelles sont trouvées

Inconnues :

point  $P_0, \dots, P_5$

Paramètres :

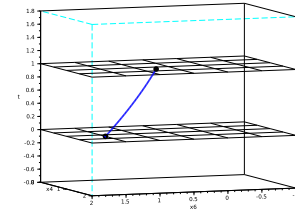
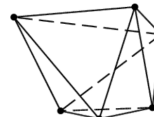
longueur  $h_0, \dots, h_{11}$

Contraintes :

$distance(P_0, P_1) = h_0$

...

$distance(P_3, P_5) = h_{11}$



# Considérer le chemin d'homotopie dans $\mathbb{R}^n \times \mathbb{R}$

$(x, t) \in \mathcal{S}, \mathcal{S} \in \mathbb{R}^n \times \mathbb{R}$       chemin d'homotopie de  $H$

- solution pour les paramètres  $(1 - t)a_{sk} + ta_{so}$
- seules les solutions réelles sont trouvées
- plusieurs solutions trouvées (parfois toutes)

Inconnues :

point  $P_0, \dots, P_5$

Paramètres :

longueur  $h_0, \dots, h_{11}$

Contraintes :

$distance(P_0, P_1) = h_0$

...

$distance(P_3, P_5) = h_{11}$

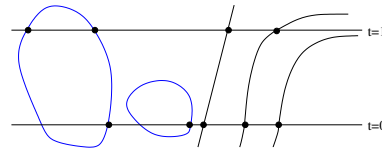
# Considérer le chemin d'homotopie dans $\mathbb{R}^n \times \mathbb{R}$

$(x, t) \in \mathcal{S}, \mathcal{S} \in \mathbb{R}^n \times \mathbb{R}$       chemin d'homotopie de  $H$

- solution pour les paramètres  $(1 - t)a_{sk} + ta_{so}$
- seules les solutions réelles sont trouvées
- plusieurs solutions trouvées (parfois toutes)

Si  $H$  est régulière ses chemins d'homotopie, dans  $\mathbb{R}^n \times \mathbb{R}$ , sont difféomorphes :

- à un cercle  
 $\Rightarrow$  plusieurs solutions  
 $\Rightarrow$  critère d'arrêt
- à une droite  
 $\Rightarrow$  suivi infini



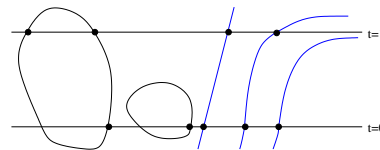
# Considérer le chemin d'homotopie dans $\mathbb{R}^n \times \mathbb{R}$

$(x, t) \in \mathcal{S}, \mathcal{S} \in \mathbb{R}^n \times \mathbb{R}$       chemin d'homotopie de  $H$

- solution pour les paramètres  $(1 - t)a_{sk} + ta_{so}$
- seules les solutions réelles sont trouvées
- plusieurs solutions trouvées (parfois toutes)

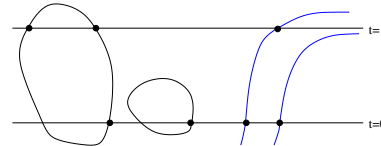
Si  $H$  est régulière ses chemins d'homotopie, dans  $\mathbb{R}^n \times \mathbb{R}$ , sont difféomorphes :

- à un cercle  
 $\Rightarrow$  plusieurs solutions  
 $\Rightarrow$  critère d'arrêt
- à une droite  
 $\Rightarrow$  suivi infini



## Nos contributions

- Interpolation non linéaire de  $a_{sk}$  en  $a_{so}$  :  
les chemins difféomorphes à des droites tendent vers des solutions  
à l'infini



[ISM14] Rémi Imbach, Pascal Schreck, and Pascal Mathis.

Leading a continuation method by geometry for solving  
geometric constraints.

*Computer-Aided Design*, 46 :138–147, 2014.

## Nos contributions

- Interpolation non linéaire de  $a_{sk}$  en  $a_{so}$  :  
les chemins difféomorphes à des droites tendent vers des solutions  
à l'infini
- Les solutions à l'infini présentent des configurations géométriques  
particulières :  
arrêt du suivi dès leur détection

[ISM14] Rémi Imbach, Pascal Schreck, and Pascal Mathis.

Leading a continuation method by geometry for solving  
geometric constraints.

*Computer-Aided Design, 46 :138–147, 2014.*

## Nos contributions

- Interpolation non linéaire de  $a_{sk}$  en  $a_{so}$  :  
les chemins difféomorphes à des droites tendent vers des solutions à l'infini
- Les solutions à l'infini présentent des configurations géométriques particulières :  
arrêt du suivi dès leur détection
- Des irrégularités inévitables sont dues à la satisfaction de théorèmes de géométrie d'incidence :  
ajout de paramètres aux contraintes d'incidence pour les éviter presque sûrement.

[ISM14] Rémi Imbach, Pascal Schreck, and Pascal Mathis.

Leading a continuation method by geometry for solving geometric constraints.

*Computer-Aided Design*, 46 :138–147, 2014.

## Quelques résultats comparatifs

Comparaison avec logiciel libre HOM4PS-2.0 :

- Détection des chemins à l'infini
- Homotopie polyédrale pour réduire le nombre de chemins

Table : Temps d'exécution<sup>1</sup>.

	HOM4PS-2.0 :	chemin de l'esquisse :
Disulfide : nb solutions temps	18 6129s	8 3s
Hexaèdre : nb solutions temps	16 (0) 12800s	7 (3) 1.6s
Icosaèdre : nb solutions temps	- <sup>2</sup> -	28 7.1s

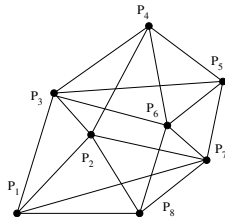
- 
1. sur Intel(R) Core(TM) i5 CPU 750 @ 2.67GHz
  2. calcul interrompu après une semaine

# Quelques résultats comparatifs

Comparaison avec logiciel libre HOM4PS-2.0 :

- Détection des chemins à l'infini
- Homotopie polyédrale pour réduire le nombre de chemins

Table : Temps d'exécution<sup>1</sup>.



	HOM4PS-2.0 :	chemin de l'esquisse :
Disulfide : nb solutions temps	18 6129s	8 3s
Hexaèdre : nb solutions temps	16 (0) 12800s	7 (3) 1.6s
Icosaèdre : nb solutions temps	- -	28 7.1s

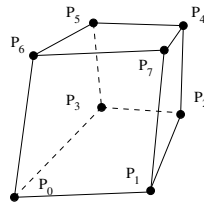
- 
1. sur Intel(R) Core(TM) i5 CPU 750 @ 2.67GHz
  2. calcul interrompu après une semaine

## Quelques résultats comparatifs

Comparaison avec logiciel libre HOM4PS-2.0 :

- Détection des chemins à l'infini
- Homotopie polyédrale pour réduire le nombre de chemins

Table : Temps d'exécution<sup>1</sup>.



	HOM4PS-2.0 :	chemin de l'esquisse :
Disulfide : nb solutions temps	18 6129s	8 3s
Hexaèdre : nb solutions temps	16 (0) 12800s	7 (3) 1.6s
Icosaèdre : nb solutions temps	- -	28 7.1s

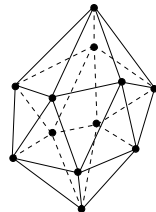
- 
1. sur Intel(R) Core(TM) i5 CPU 750 @ 2.67GHz
  2. calcul interrompu après une semaine

## Quelques résultats comparatifs

Comparaison avec logiciel libre HOM4PS-2.0 :

- Détection des chemins à l'infini
- Homotopie polyédrale pour réduire le nombre de chemins

Table : Temps d'exécution<sup>1</sup>.



	HOM4PS-2.0 :	chemin de l'esquisse :
Disulfide : nb solutions temps	18 6129s	8 3s
Hexaèdre : nb solutions temps	16 (0) 12800s	7 (3) 1.6s
Icosaèdre : nb solutions temps	- -	28 7.1s

- 
1. sur Intel(R) Core(TM) i5 CPU 750 @ 2.67GHz
  2. calcul interrompu après une semaine

## Exemple : l'hexaèdre

Problème 1 : *Construire un hexaèdre, en connaissant les longueurs de ses 12 arêtes.*

Pour presque toutes les valeurs des paramètres, ses solutions sont :

- des points isolés

SCG 3D :

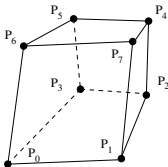
Inconnues :

8 points                  18 ddl

Contraintes :

12 distances

6 coplanarités



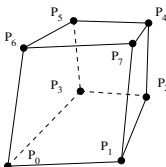
## Exemple : l'hexaèdre

**Problème 1 :** *Construire un hexaèdre, en connaissant les longueurs de ses 12 arêtes.*

Pour presque toutes les valeurs des paramètres, ses solutions sont :

- des points isolés
- les solutions du problème 2

**Problème 2 :** *Construire 8 points dans un plan, en connaissant 12 distances entre paires de points.*



SCG 3D :

Inconnues :

8 points

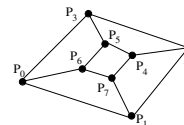
Contraintes :

12 distances

6 coplanarités

18 ddl

18 ddr



SCG 2D :

Inconnues :

8 points

Contraintes :

12 distances

13 ddl

12 ddr

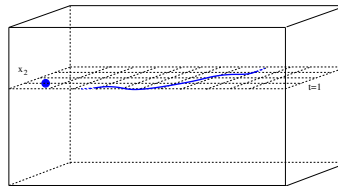
## Exemple : l'hexaèdre

Problème 1 : *Construire un hexaèdre, en connaissant les longueurs de ses 12 arêtes.*

Pour presque toutes les valeurs des paramètres, ses solutions sont :

- des points isolés
- des variétés de dimension 1

Problème 2 : *Construire 8 points dans un plan, en connaissant 12 distances entre paires de points.*



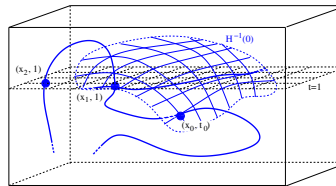
## Exemple : l'hexaèdre

Problème 1 : *Construire un hexaèdre, en connaissant les longueurs de ses 12 arêtes.*

Pour presque toutes les valeurs des paramètres, ses solutions sont :

- des points isolés
- des variétés de dimension 1

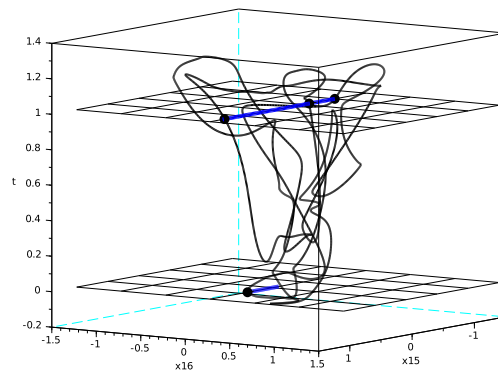
Fonction d'homotopie  $H(X, t)$  : Pour presque toutes les valeurs des paramètres,  $\{(X, t) | H(X, t) = 0\}$  contient des points critiques



# Paramétriser les contraintes booléennes

Idée :

*Remplacer les contraintes de coplanarité par des contraintes de volume non-nuls quand  $t \notin [0, 1]$*



# Paramétriser les contraintes booléennes

Idée :

*Remplacer les contraintes booléennes par des contraintes de paramètres non-nuls quand  $t \notin \llbracket 0, 1 \rrbracket$*

Théorème :

*Soit un SCG génériquement rigide,  $F(X, A)$  sa fonction numérique. Si pour tout  $i$ ,  $f_i$  dépend d'un paramètre  $a_i \in \mathbb{R}$ , alors  $F(X, d(t))$  est régulière pour presque tous  $a_{sk} \in \mathbb{R}^n$ ,  $a_{so} \in \mathbb{R}^n$ .*

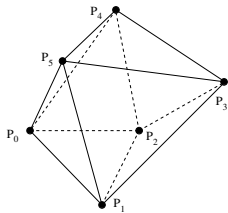
Tiré et adapté de :

[LW93] TY Li and Xiao Shen Wang.

Solving real polynomial systems with real homotopies.  
*mathematics of computation*, 60(202) :669–680, 1993.

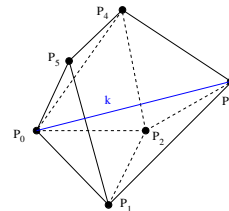
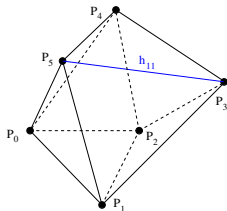
# Reparamétrisation

- Echec de la méthode LIM



# Reparamétrisation

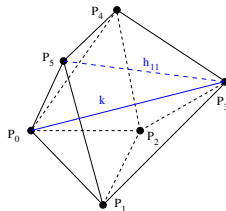
- Echec de la méthode LIM
- Remplacer  $d$  contraintes pour obtenir un SCG soluble par LIM  
 $k = (k_0, \dots, k_{d-1})$  : paramètres guides



# Reparamétrisation

Phase symbolique :

- Echec de la méthode LIM
- Remplacer  $d$  contraintes pour obtenir un SCG soluble par LIM  
 $k = (k_0, \dots, k_{d-1})$  : paramètres guides
- Plan de construction paramétré  $k$



Paramètres :

$P_0, Pl_0, L_0, h_0, h_1, \dots, k$

Inconnues :

$P_1, P_2, \dots, P_5, S_0, \dots, S_{11}$

Termes :

$S_0 = \text{sphere}(P_0, h_0)$

$P_2 = \text{interPLS}(Pl_0, L_0, S_0)$

...

$S_3 = \text{sphere}(P_0, k)$

$S_4 = \text{sphere}(P_1, h_3)$

$S_5 = \text{sphere}(P_2, h_4)$

$P_3 = \text{interSSS}(S_3, S_4, S_5)$

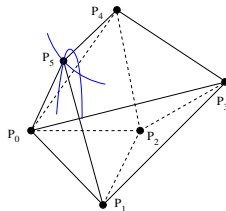
...

$P_5 = \text{interSSS}(S_9, S_{10}, S_{11})$

# Reparamétrisation

Phase symbolique :

- Echec de la méthode LIM
- Remplacer  $d$  contraintes pour obtenir un SCG soluble par LIM  
 $k = (k_0, \dots, k_{d-1})$  : paramètres guides
- Plan de construction paramétré  $k$



Paramètres :

$P_0, Pl_0, L_0, h_0, h_1, \dots, k$

Inconnues :

$P_1, P_2, \dots, P_5, S_0, \dots, S_{11}$

Termes :

$S_0 = \text{sphere}(P_0, h_0)$

$P_2 = \text{interPLS}(Pl_0, L_0, S_0)$

...

$S_3 = \text{sphere}(P_0, k)$

$S_4 = \text{sphere}(P_1, h_3)$

$S_5 = \text{sphere}(P_2, h_4)$

$P_3 = \text{interSSS}(S_3, S_4, S_5)$

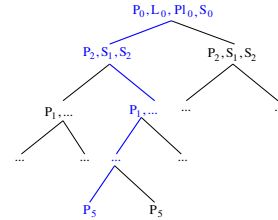
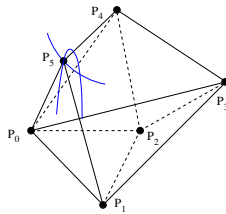
...

$P_5 = \text{interSSS}(S_9, S_{10}, S_{11})$

# Reparamétrisation

Phase symbolique :

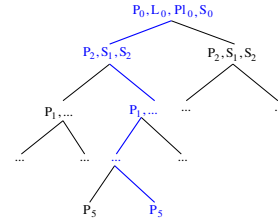
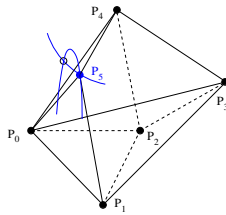
- Echec de la méthode LIM
- Remplacer  $d$  contraintes pour obtenir un SCG soluble par LIM  
 $k = (k_0, \dots, k_{d-1})$  : paramètres guides
- Plan de construction paramétré  $k$



# Reparamétrisation

Phase symbolique :

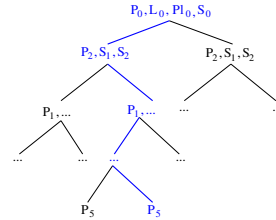
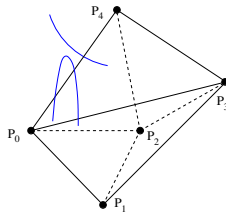
- Echec de la méthode LIM
- Remplacer  $d$  contraintes pour obtenir un SCG soluble par LIM  
 $k = (k_0, \dots, k_{d-1})$  : paramètres guides
- Plan de construction paramétré  $k$



# Reparamétrisation

Phase symbolique :

- Echec de la méthode LIM
- Remplacer  $d$  contraintes pour obtenir un SCG soluble par LIM  
 $k = (k_0, \dots, k_{d-1})$  : paramètres guides
- Plan de construction paramétré  $k$



# Reparamétrisation

Phase numérique :

Pour quelles valeurs de  $k$  les contraintes supprimées sont-elles satisfaites par  $Cp^b(k)$  ?

- fonction numérique :  $F_r : \mathbb{R}^d \rightarrow \mathbb{R}^d$   

$$k \mapsto F_s(Cp^b(k))$$
- En général :  $d \ll n$

Paramètres :

$P_0, Pl_0, L_0, h_0, h_1, \dots, k$

Inconnues :

$P_1, P_2, \dots, P_5, S_0, \dots, S_{11}$

Termes :

$S_0 = \text{sphere}(P_0, h_0)$

$P_2 = \text{interPLS}(Pl_0, L_0, S_0)$

...

$S_3 = \text{sphere}(P_0, k)$

$S_4 = \text{sphere}(P_1, h_3)$

$S_5 = \text{sphere}(P_2, h_4)$

$P_3 = \text{interSSS}(S_3, S_4, S_5)$

...

$P_5 = \text{interSSS}(S_9, S_{10}, S_{11})$

$$F_s(P_5, P_2) = \text{distance}(P_5, P_3) - h_{11}$$

# Reparamétrisation

Phase numérique : très difficile

Pour quelles valeurs de  $k$  les contraintes supprimées sont-elles satisfaites par  $Cp^b(k)$  ?

- multi-fonction numérique :  $F_r : \mathbb{R}^d$

$$k \mapsto \begin{cases} F_s(Cp^{b_1}(k)) \\ F_s(Cp^{b_2}(k)) \\ \dots \\ F_s(Cp^{b_p}(k)) \end{cases}$$

- En général :  $d \ll n$
- Expression analytique de  $F_r$ , très complexe

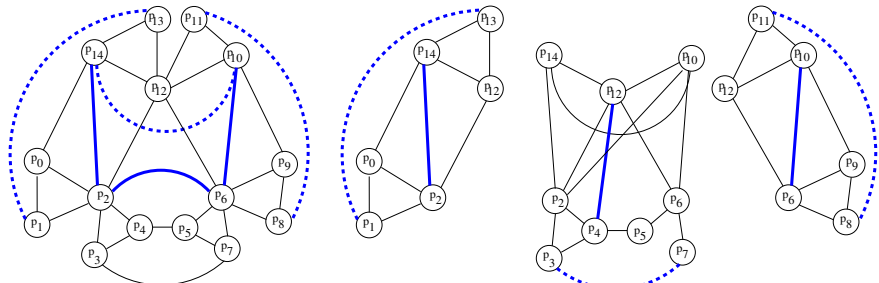
Approches proposées :

- échantillonnage de  $\mathbb{R}^d$  sur chaque branche
- Newton-Raphson [Fab06] Arnaud Fabre.

*Contraintes géométriques en dimension 3.*

*PhD thesis, 2006.*

# Reparamétrisation



[MSI12] P. Mathis, P. Schreck, and R. Imbach.

Decomposition of geometrical constraint systems with  
reparameterization.

In *Proceedings of the 27th Annual ACM Symposium on Applied Computing*, pages 102–108. ACM, 2012.

# Reparamétrisation

Phase numérique :

Pour quelles valeurs de  $k$  les contraintes supprimées sont-elles satisfaites par  $Cp^b(k)$  ?

- fonction numérique :  $F_r : \mathbb{R}^d \times \mathbb{R} \rightarrow \mathbb{R}^d$

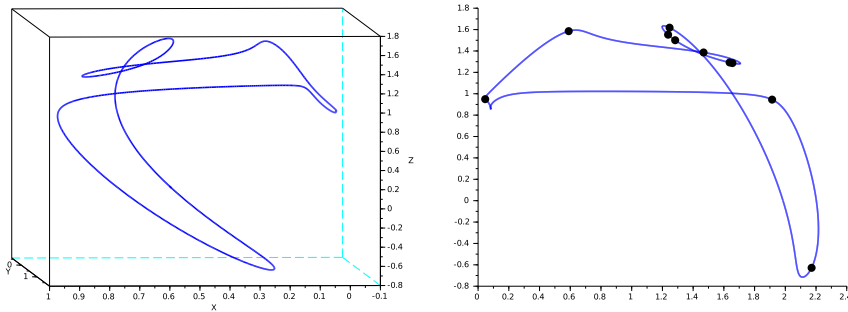
$$k, \textcolor{blue}{t} \mapsto \begin{cases} F_s(Cp^{b_1}(k, \textcolor{blue}{t}), \textcolor{blue}{t}) \\ F_s(Cp^{b_2}(k, \textcolor{blue}{t}), \textcolor{blue}{t}) \\ \dots \\ F_s(Cp^{b_p}(k, \textcolor{blue}{t}), \textcolor{blue}{t}) \end{cases}$$

- En général :  $d \ll n$

Notre approche : Recherche des 0 de la multi-fonction  $F_r$  par notre méthode d'homotopie

$\simeq$  Utilisation de la multi-fonction  $F_r$  pour “accélérer” notre méthode d'homotopie

# Plan de construction et fonction numérique



À un chemin d'homotopie  $\mathcal{S} \subset \mathbb{R}^n \times \mathbb{R}$  de  $H$  correspond une réunion de chemins d'homotopie  $\mathcal{S}' \subset \mathbb{R}^d \times \mathbb{R}$  de  $F_r$

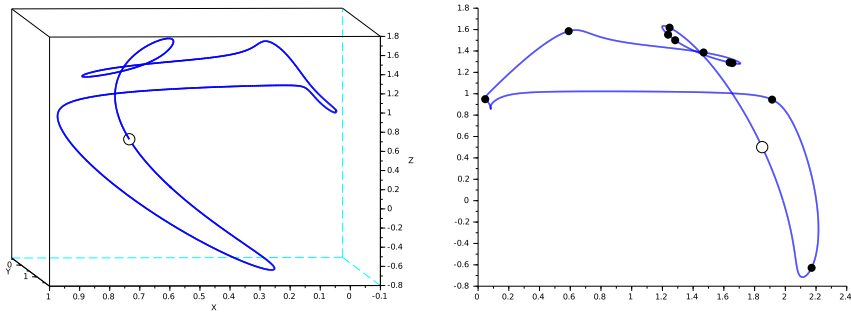
Avec :

$\forall (x, t) \in \mathcal{S}, \exists b, \exists ! k \text{ tq } Cp^b(k, t) = x$

et :

$\forall (k, t) \in \mathcal{S}', \exists b \exists ! x \in \mathcal{S} \text{ tq } Cp^b(k, t) = x$

# Plan de construction et fonction numérique



À un chemin d'homotopie  $\mathcal{S} \subset \mathbb{R}^n \times \mathbb{R}$  de  $H$  correspond une réunion de chemins d'homotopie  $\mathcal{S}' \subset \mathbb{R}^d \times \mathbb{R}$  de  $F_r$

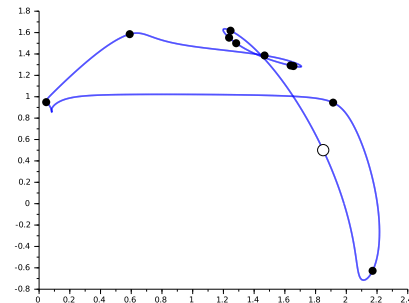
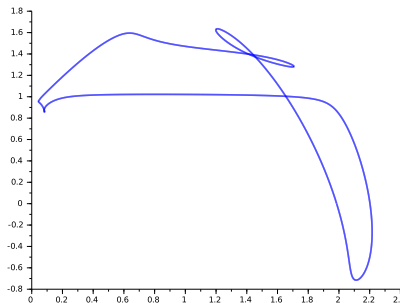
Avec :

$$\forall (x, t) \in \mathcal{S}, \exists b, \exists ! k \text{ tq } Cp^b(k, t) = x$$

et :

$$\forall (k, t) \in \mathcal{S}', \exists b \exists ! x \in \mathcal{S} \text{ tq } Cp^b(k, t) = x$$

# Plan de construction et fonction numérique



À un chemin d'homotopie  $\mathcal{S} \subset \mathbb{R}^n \times \mathbb{R}$  de  $H$  correspond une réunion de chemins d'homotopie  $\mathcal{S}' \subset \mathbb{R}^d \times \mathbb{R}$  de  $F_r$

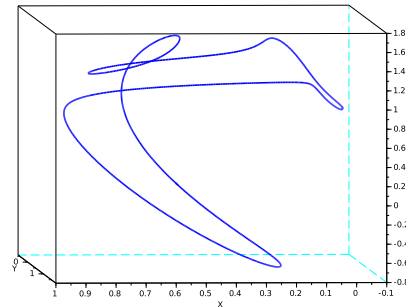
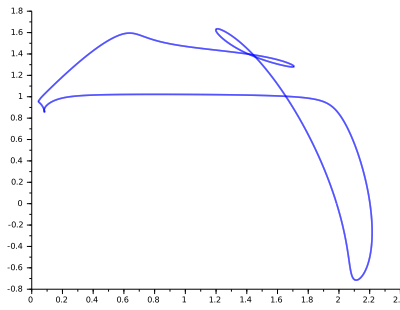
Avec :

$\forall (x, t) \in \mathcal{S}, \exists b, \exists ! k \text{ tq } Cp^b(k, t) = x$

et :

$\forall (k, t) \in \mathcal{S}', \exists b \exists ! x \in \mathcal{S} \text{ tq } Cp^b(k, t) = x$

# Plan de construction et fonction numérique



À un chemin d'homotopie  $\mathcal{S} \subset \mathbb{R}^n \times \mathbb{R}$  de  $H$  correspond une réunion de chemins d'homotopie  $\mathcal{S}' \subset \mathbb{R}^d \times \mathbb{R}$  de  $F_r$

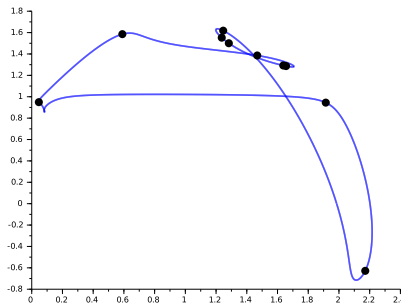
Avec :

$\forall (x, t) \in \mathcal{S}, \exists b, \exists ! k \text{ tq } Cp^b(k, t) = x$

et :

$\forall (k, t) \in \mathcal{S}', \exists b \exists ! x \in \mathcal{S} \text{ tq } Cp^b(k, t) = x$

# Plan de construction et fonction numérique



À un chemin d'homotopie  $\mathcal{S} \subset \mathbb{R}^n \times \mathbb{R}$  de  $H$  correspond une réunion de chemins d'homotopie  $\mathcal{S}' \subset \mathbb{R}^d \times \mathbb{R}$  de  $F_r$

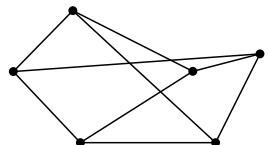
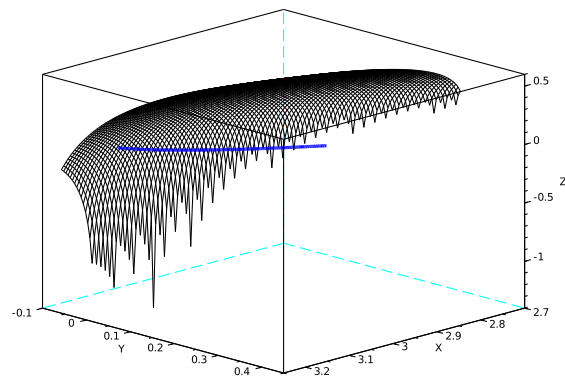
Avec :

$\forall (x, t) \in \mathcal{S}, \exists b, \exists ! k \text{ tq } Cp^b(k, t) = x$

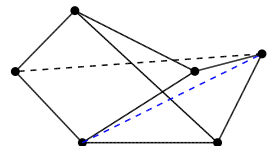
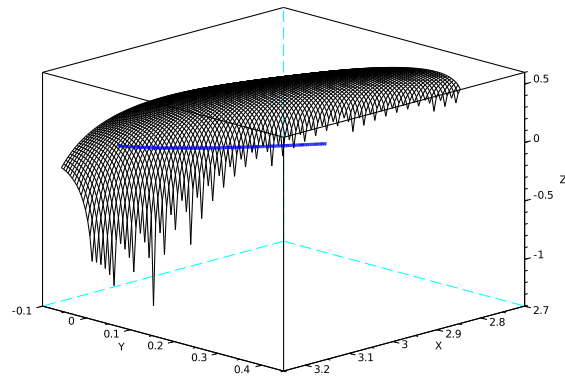
et :

$\forall (k, t) \in \mathcal{S}', \exists b \exists ! x \in \mathcal{S} \text{ tq } Cp^b(k, t) = x$

# Domaine de définition et changements de branche



# Domaine de définition et changements de branche



Paramètres :

$p_0, l_0, d_0, \dots, k$

Inconnues

$c_0, p_1, \dots, p_2$

Termes :

...

$p_5 = \text{intercc}(c_5, c_8)$

$c_4 = \text{mkcircle}(p_5, d_4)$

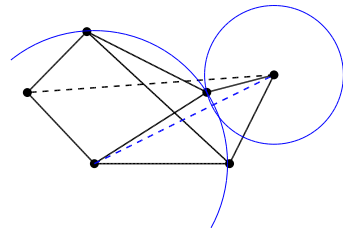
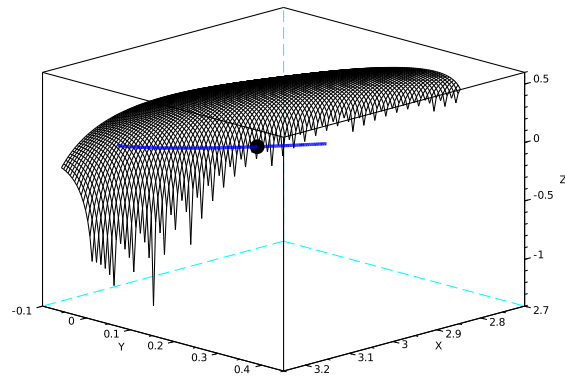
$c_7 = \text{mkcircle}(p_1, d_7)$

$p_4 = \text{intercc}(c_4, c_7)$

$c_3 = \text{mkcircle}(p_4, d_3)$

...

# Domaine de définition et changements de branche



Paramètres :

$p_0, l_0, d_0, \dots, k$

Inconnues

$c_0, p_1, \dots, p_2$

Termes :

...

$p_5 = \text{intercc}(c_5, c_8)$

$c_4 = \text{mkcircle}(p_5, d_4)$

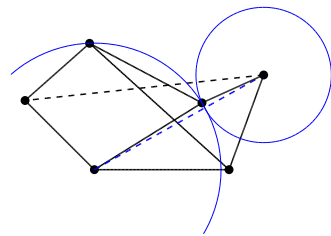
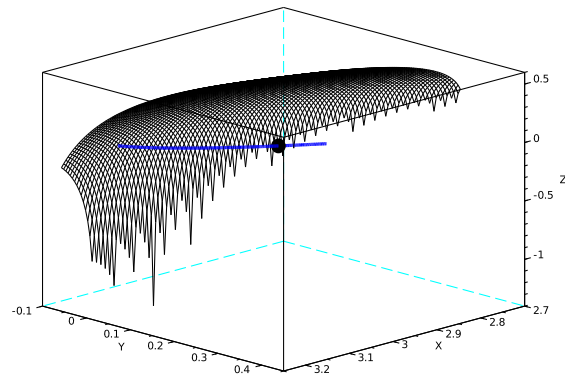
$c_7 = \text{mkcircle}(p_1, d_7)$

$p_4 = \text{intercc}(c_4, c_7)$

$c_3 = \text{mkcircle}(p_4, d_3)$

...

# Domaine de définition et changements de branche



Paramètres :

$p_0, l_0, d_0, \dots, k$

Inconnues

$c_0, p_1, \dots, p_2$

Termes :

...

$p_5 = \text{intercc}(c_5, c_8)$

$c_4 = \text{mkcircle}(p_5, d_4)$

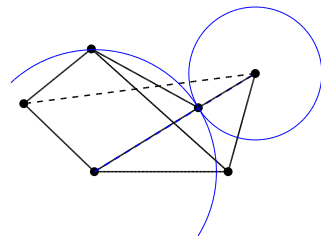
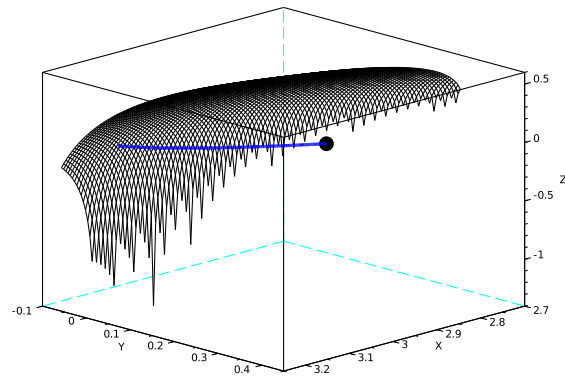
$c_7 = \text{mkcircle}(p_1, d_7)$

$p_4 = \text{intercc}(c_4, c_7)$

$c_3 = \text{mkcircle}(p_4, d_3)$

...

# Domaine de définition et changements de branche



Paramètres :

$p_0, l_0, d_0, \dots, k$

Inconnues

$c_0, p_1, \dots, p_2$

Termes :

...

$p_5 = \text{intercc}(c_5, c_8)$

$c_4 = \text{mkcircle}(p_5, d_4)$

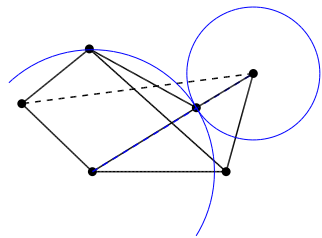
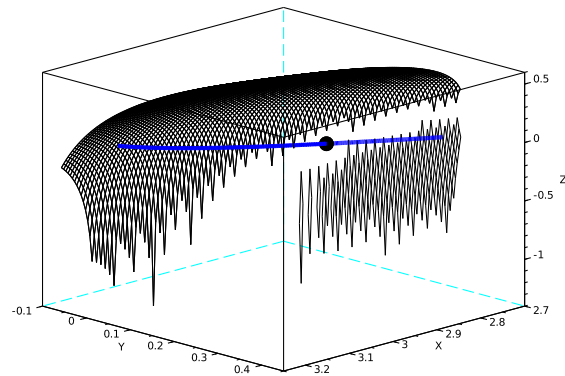
$c_7 = \text{mkcircle}(p_1, d_7)$

$p_4 = \text{intercc}(c_4, c_7)$

$c_3 = \text{mkcircle}(p_4, d_3)$

...

# Domaine de définition et changements de branche



Paramètres :

$p_0, l_0, d_0, \dots, k$

Inconnues

$c_0, p_1, \dots, p_2$

Termes :

...

$p_5 = \text{intercc}(c_5, c_8)$

$c_4 = \text{mkcircle}(p_5, d_4)$

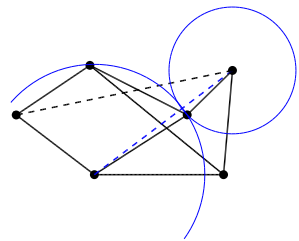
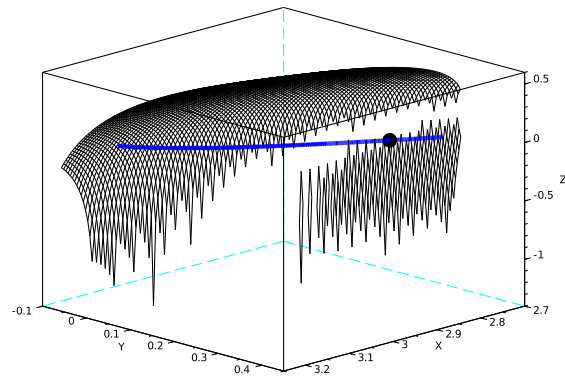
$c_7 = \text{mkcircle}(p_1, d_7)$

$p_4 = \text{intercc}(c_4, c_7)$

$c_3 = \text{mkcircle}(p_4, d_3)$

...

# Domaine de définition et changements de branche



Paramètres :

$p_0, l_0, d_0, \dots, k$

Inconnues

$c_0, p_1, \dots, p_2$

Termes :

...

$p_5 = \text{intercc}(c_5, c_8)$

$c_4 = \text{mkcircle}(p_5, d_4)$

$c_7 = \text{mkcircle}(p_1, d_7)$

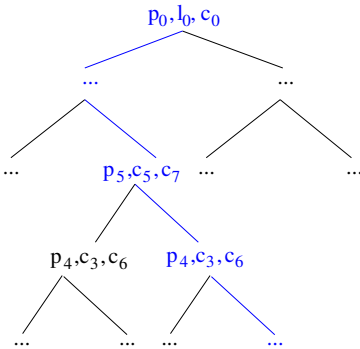
$p_4 = \text{intercc}(c_4, c_7)$

$c_3 = \text{mkcircle}(p_4, d_3)$

...

# Domaine de définition et changements de branche

- Identification de la nouvelle branche à suivre



Paramètres :

$p_0, l_0, d_0, \dots, k$

Inconnues

$c_0, p_1, \dots, p_2$

Termes :

...

$p_5 = \text{intercc}(c_5, c_8)$

$c_4 = \text{mkcircle}(p_5, d_4)$

$c_7 = \text{mkcircle}(p_1, d_7)$

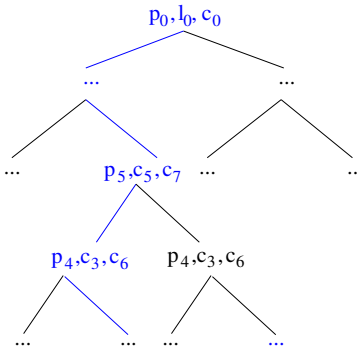
$p_4 = \text{intercc}(c_4, c_7)$

$c_3 = \text{mkcircle}(p_4, d_3)$

...

# Domaine de définition et changements de branche

- Identification de la nouvelle branche à suivre



Paramètres :

$p_0, l_0, d_0, \dots, k$

Inconnues

$c_0, p_1, \dots, p_2$

Termes :

...

$p_5 = \text{intercc}(c_5, c_8)$

$c_4 = \text{mkcircle}(p_5, d_4)$

$c_7 = \text{mkcircle}(p_1, d_7)$

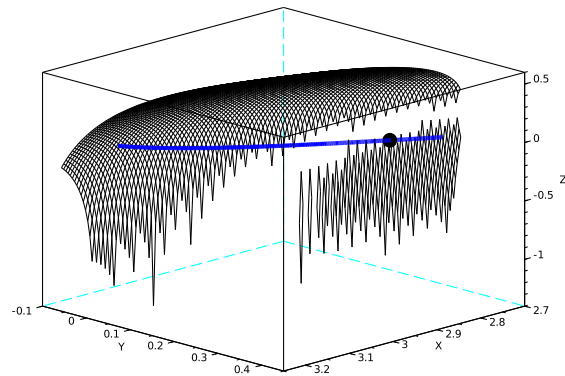
$p_4 = \text{intercc}(c_4, c_7)$

$c_3 = \text{mkcircle}(p_4, d_3)$

...

# Domaine de définition et changements de branche

- Identification de la nouvelle branche à suivre
- Suivi du chemin d'homotopie : calcul numérique difficile



Paramètres :

$p_0, l_0, d_0, \dots, k$

Inconnues

$c_0, p_1, \dots, p_2$

Termes :

...

$p_5 = \text{intercc}(c_5, c_8)$

$c_4 = \text{mkcircle}(p_5, d_4)$

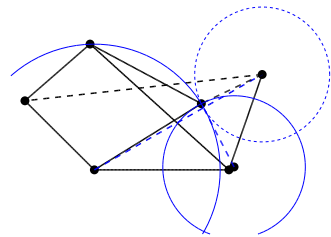
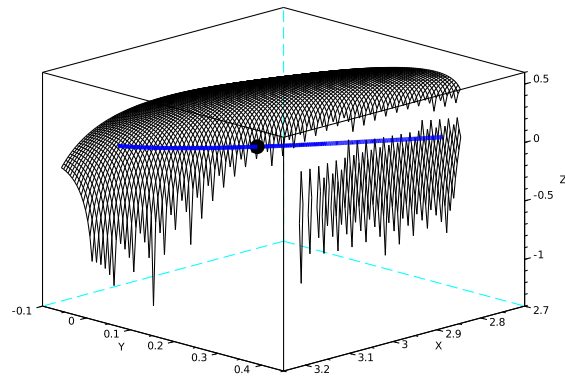
$c_7 = \text{mkcircle}(p_1, d_7)$

$p_4 = \text{intercc}(c_4, c_7)$

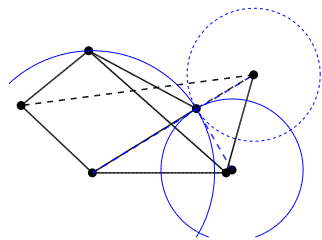
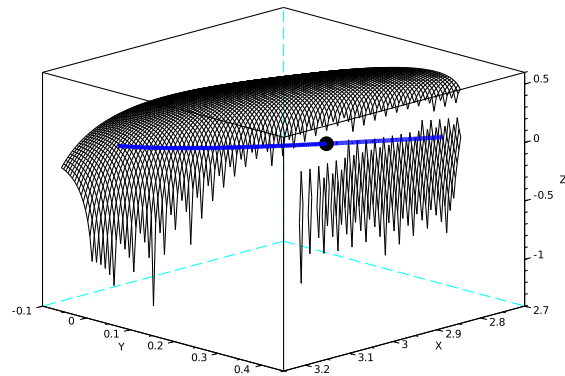
$c_3 = \text{mkcircle}(p_4, d_3)$

...

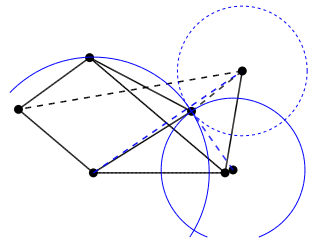
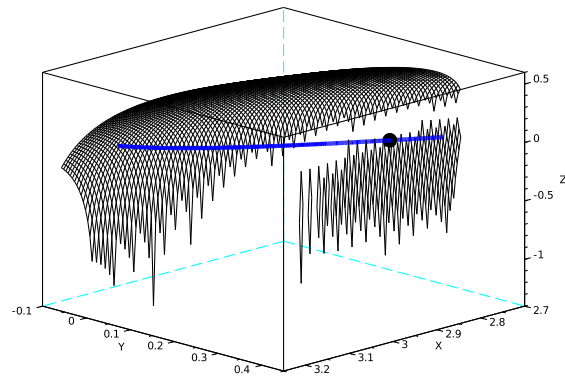
# Modifier le plan de construction



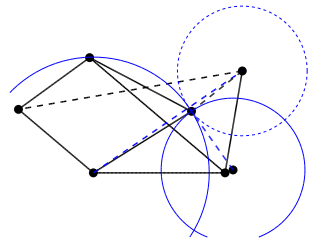
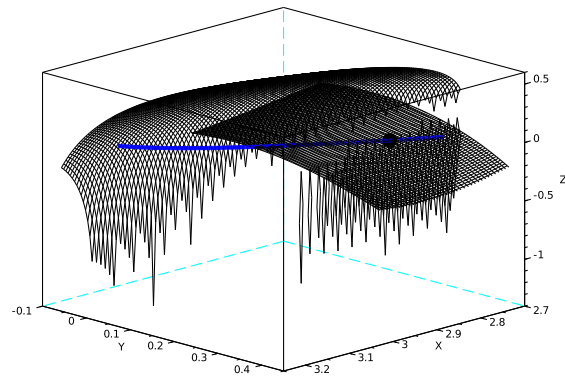
# Modifier le plan de construction



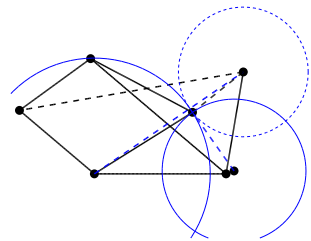
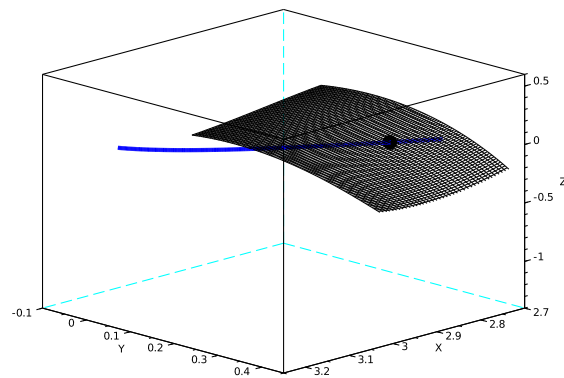
# Modifier le plan de construction



# Modifier le plan de construction



# Modifier le plan de construction



Paramètres :

$p_0, l_0, d_0, \dots, k_0, pAdd, k_1$   
Inconnues

$c_0, p_1, \dots, p_2$

Termes :

...

$p_5 = intercc(c_5, c_8)$

$c_4 = mkcircle(pAdd, k_1)$

$c_7 = mkcircle(p_1, d_7)$

$p_4 = intercc(c_4, c_7)$

$c_3 = mkcircle(p_4, d_3)$

...

$F_0(P_5, P_2) = distance(P_5, P_2) - d_9$

$F_1(P_5, P_4) = distance(P_5, P_4) - d_4$

# Algorithme de Suivi de chemins

Esquisse  $X_{sk}$

Fonction numérique  $F$  obtenue par reparam., branche de  $X_{sk}$

Figure  $X = X_{sk}$

1. Suivre  $F^{-1}(0)$  depuis  $X$  jusqu'à ce que :

- le chemin sorte du domaine de définition de  $F$
- le chemin passe par  $X_{sk}$

$X =$  dernière figure construite

2. Modifier le plan de construction et  $F$  :

- Identifier l'intersection critique
- Modifier le PC en conséquence
- Ajouter une nouvelle contrainte à rattraper
- Trouver la branche de  $X$

3. Reprendre à 1.

# Algorithme de Suivi de chemins

Esquisse  $X_{sk}$

Fonction numérique  $F$  obtenue par reparam., branche de  $X_{sk}$

Figure  $X = X_{sk}$

1. Suivre  $F^{-1}(0)$  depuis  $X$  jusqu'à ce que :

- le chemin sorte du domaine de définition de  $F$
- le chemin passe par  $X_{sk}$

$X =$  dernière figure construite

2. Modifier le plan de construction et  $F$  :

- Identifier l'intersection critique
- Modifier le PC en conséquence
- Ajouter une nouvelle contrainte à rattraper
- Trouver la branche de  $X$

Retirer les contraintes précédemment ajoutées en fonction d'un critère géométrique

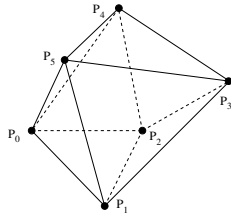
3. Reprendre à 1.

# Résultats

Pas de prédition :

- constant
- meilleur

Table : Temps d'exécution<sup>3</sup>.



	Système d'équations	Plan de construction
Octaèdre : temps nb d'itérations	$\simeq 0.5\text{s}$ 1652	$\simeq 0.09\text{s}$ 797
Icosaèdre : temps nb d'itérations	$\simeq 7.1\text{s}$ 3216	$\simeq 5.6\text{s}$ 12867

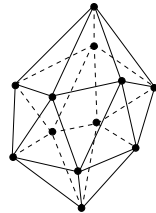
3. sur Intel(R) Core(TM) i5 CPU 750 @ 2.67GHz

# Résultats

Pas de prédition :

- constant
- meilleur

Table : Temps d'exécution<sup>3</sup>.



	Système d'équations	Plan de construction
Octaèdre : temps nb d'itérations	$\simeq 0.5\text{s}$ 1652	$\simeq 0.09\text{s}$ 797
Icosaèdre : temps nb d'itérations	$\simeq 7.1\text{s}$ 3216	$\simeq 5.6\text{s}$ 12867

3. sur Intel(R) Core(TM) i5 CPU 750 @ 2.67GHz

## Résumé

- Méthode de suivi de chemins d'homotopie guidé par la géométrie...
- pour résoudre des systèmes de contraintes géométriques.
- utilisation d'un plan de construction obtenu par reparamétrisation
- modifié pendant le suivi pour :
  - éviter de gérer la nature multi-fonctionnelle du PC
  - éviter de faire du calcul numérique sur une fonction mal "conditionnée".

# Perspectives

- Travail en cours !
- Critère géométrique pour la suppression des contraintes ajoutées
- Mesure de comparaison des résultats
- Critère géométrique pour adapter le pas de prédiction pendant le suivi
- ...



Merci de votre attention

